



MESSWERTVERARBEITUNG UND DIAGNOSETECHNIK

Verantwortlicher: Dr.-Ing. Zhirong Wang

Professur für Dynamik und Mechanismentechnik

Institut für Festkörpermechanik

Fakultät Maschinenwesen

PO2019: MW-MB-SIM-12, MW-MB-KST-12, MW-MB-AKM-19

PO2012:: MB-KS-10, MB-SM-12

PO2006: MT14: Höhere Dynamik (Teilmodul Messwertverarbeitung/Diagnostik)

Datum der Abgabe: 9. Juni 2022

1 FOURIERANALYSE PERIODISCHER KONTINUIERLICHER SIGNALE

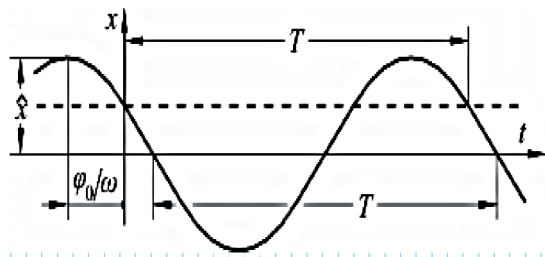


Abb. 1.1: Harmonische Signale

Merkmale:

- Amplitude: A
- Periodendauer: T
- Kreisfrequenz: $\omega = \frac{2\pi}{T}$
- Frequenz: $f = \frac{\omega}{2\pi} = \frac{1}{T}$

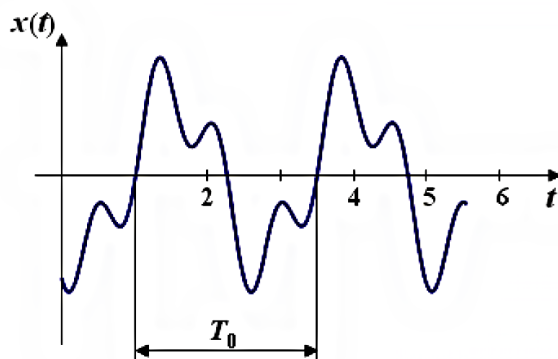
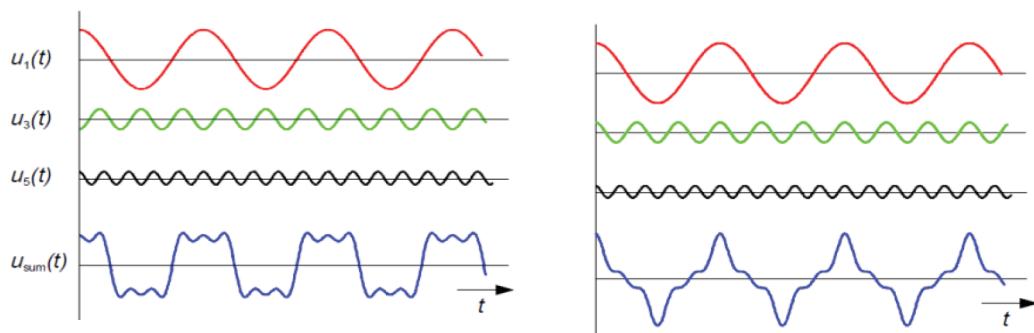


Abb. 1.2: Periodische Signale

Merkmale:

- Periodisch: $x(t) = x(t + T)$
- Periodendauer: T_1
- Grundfrequenz: $f_1 = \frac{1}{T_1}$
- Grundkreisfrequenz: $\omega_1 = 2\pi f_1 = \frac{2\pi}{T_1}$

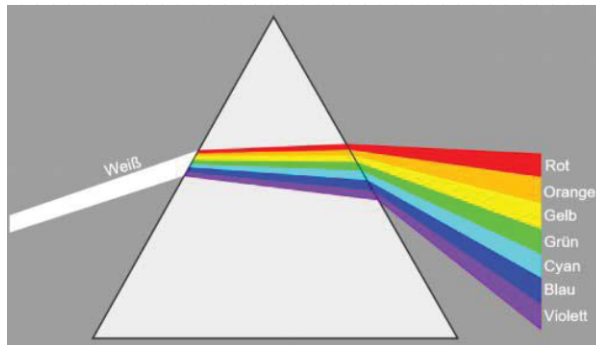


$$u_{sum}(t) = \cos(\omega_0 t) + \frac{1}{3} \cos(3\omega_0 t + \pi) + \frac{1}{5} \cos(5\omega_0 t)$$

$$u_{sum}(t) = \cos(\omega_0 t) + \frac{1}{3} \cos(3\omega_0 t) + \frac{1}{5} \cos(5\omega_0 t)$$

Abb. 1.3: Überlagerung mehrerer Harmonischen

Spektrum und Fourier-Reihe:

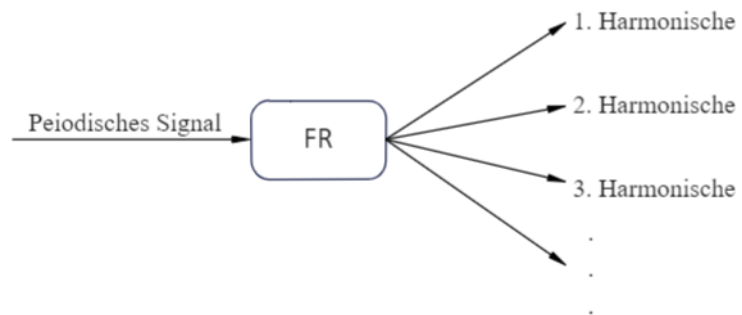


Spektrum: Das Muster des monochromatischen Lichts, das in der Reihenfolge der Wellenlänge (oder Frequenz) gestreut wurde, wird als optisches Spektrum bezeichnet.

Abb. 1.4: Spektrum



(a) Fourier: 1768-1830



(b) Fourier-Reihe

Abb. 1.5: Fourier und FR

1.1 FOURIERREIHE

1.1.1 Orthogonale Reihenentwicklung

Periodisches Signal $x(t)$ mit Periodendauer soll durch einen Satz von Basisfunktionen approximiert werden.

Basisfunktion: $g_0^{(t)}, g_1^{(t)}, g_2^{(t)}, \dots, g_k^{(t)}, \dots$

Die Approximation von $x(t)$:

$$x_{\text{approx}}(t) = \sum_{k=0}^{\infty} a_k g_k(t) \quad a_k\text{-Koeffizient der Reihe} \quad (1.1)$$

Kriterien zur Bestimmung der Koeffizienten a_k : → **bleibend Fehlerquadrat.**

$$\begin{aligned} QF &= \int_a^b \left(x(t) - x_{\text{approx}}(t) \right)^2 dt \leadsto \min \\ &= \int_a^b \left(x(t) - \sum_{l=0}^{\infty} a_l g_l(t) \right)^2 dt \leadsto \min \end{aligned} \quad (1.2)$$

Damit **QF** minimal wird, muss die Folgende Ableitung gelten:

$$\frac{\partial QF}{\partial a_k} = 0, \quad \text{für } k = 0, 1, 2, \dots \quad (1.3)$$

Die Differentiation:

$$\begin{aligned} \frac{\partial QF}{\partial a_k} &= \int_a^b 2 \left[x(t) - \sum_{l=0}^{\infty} a_l g_l(t) \right] (-g_k) dt = 0 \\ \int_a^b \left[x(t) g_k(t) - \sum_{l=0}^{\infty} a_l g_l(t) g_k(t) \right] \cdot dt &= 0 \end{aligned} \quad (1.4)$$

Für jeden k, k=0,1,2,...:

$$\int_a^b x(t) \cdot g_k(t) \cdot dt = \sum_{l=0}^{\infty} \int_a^b a_l g_l(t) g_k(t) dt \quad (*)$$

Sonderfall:

Wenn die Basisfunktion $g_0^{(t)}, g_1^{(t)}, \dots$ zueinander orthogonal sind, d.h.:

$$\int_a^b g_k(t) \cdot g_l(t) dt = \begin{cases} 0 & \text{für } k \neq l \\ K_l & \text{für } k = l \end{cases} \quad (1.5)$$

Die Gleichung (*) vereinfacht sich zu:

$$\int_a^b x(t) g_k(t) dt = a_k \cdot \int_a^b g_k(t) \cdot g_k(t) dt, \quad k = 0, 1, 2, \dots \quad (1.6)$$

$$\Rightarrow a_k = \frac{\int_a^b x(t) g_k(t) dt}{\int_a^b g_k(t) \cdot g_k(t) dt} \quad (1.7)$$

1.1.2 Reelle Fourierreihe (trigonometrische Fourierreihe)

Basisfunktion:

1	$\cos(\omega_1 t)$	$\sin(\omega_1 t)$	$\cos(2\omega_1 t)$	$\sin(2\omega_1 t)$	$\cos(3\omega_1 t)$...
g_0	g_{1c}	g_{1s}	g_{2c}	g_{2s}	g_{3c}	...
a_0	a_1	b_1	a_2	b_2	a_3	...

Es lässt sich prüfen, dass sie zueinander orthogonal sind.

Für ein periodischer Verlauf $x(t)$, Periodendauer T , Grundfrequenz $f_1 = \frac{1}{T}$, Grundkreisfre-

quenz $\omega_1 = \frac{2\pi}{T}$.

$$\begin{aligned}
 x(t) = & \underbrace{a_0}_{\text{Mittelwert}} + \underbrace{a_1 \cdot \cos \omega_1 t + b_1 \cdot \sin \omega_1 t}_{\text{Grundschiwingung: 1. Harmonische}} \\
 & + \underbrace{a_2 \cdot \cos 2\omega_1 t + b_2 \cdot \sin 2\omega_1 t}_{\text{Grundschiwingung: 2. Harmonische}} \\
 & + \underbrace{a_3 \cdot \cos 3\omega_1 t + b_3 \cdot \sin 3\omega_1 t}_{\text{Grundschiwingung: 3. Harmonische}} \\
 & + \dots
 \end{aligned}$$

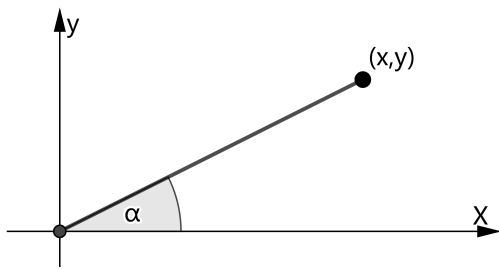
Die obige Entwicklung ist als folgende Gleichung zusammenzufassen:

$$\begin{aligned}
 x(t) &= a_0 + \sum_{k=1}^{\infty} (a_k \cdot \cos k\omega_1 t + b_k \cdot \sin k\omega_1 t) \\
 a_0 &= \frac{\int_T x(t) \cdot \underbrace{g_0(t)}_T dt}{\int_T g_0(t) \cdot g_0(t) dt} = \frac{1}{T} \int_T x(t) dt \\
 a_k &= \frac{\int_T x(t) g_{kc}(t) dt}{\int_T g_{kc}(t) \cdot g_{kc}(t) dt} = \frac{\int_T x(t) \cdot \cos k\omega_1 t dt}{\int_T [\cos(k\omega_1 t)]^2 \cdot dt} = \frac{2}{T} \int_T x(t) \cdot \cos k\omega_1 t dt \\
 b_k &= \frac{\int_T x(t) g_{ks}(t) dt}{\int_T g_{ks}(t) \cdot g_{ks}(t) dt} = \frac{\int_T x(t) \cdot \sin k\omega_1 t dt}{\int_T [\sin(k\omega_1 t)]^2 \cdot dt} = \frac{2}{T} \int_T x(t) \cdot \sin k\omega_1 t dt
 \end{aligned} \tag{1.8}$$

Zusammenfassung der trigonometrischer Fourier-Entwicklung und deren Variaten:

$$\begin{aligned}
 x(t) &= a_0 + \sum_{k=1}^{\infty} (a_k \cdot \cos k\omega_1 t + b_k \sin k\omega_1 t) \\
 &= a_0 + \sum_{k=1}^{\infty} c_k \cdot \cos(k\omega_1 t + \varphi_k) \\
 &= a_0 + \sum_{k=1}^{\infty} d_k \cdot \sin(k\omega_1 t + \psi_k) \\
 c_k &= d_k = \sqrt{a_k^2 + b_k^2} \\
 \varphi_k &= \arctan 2(-b_k, a_k) \\
 \psi_k &= \arctan 2(a_k, b_k)
 \end{aligned} \tag{1.9}$$

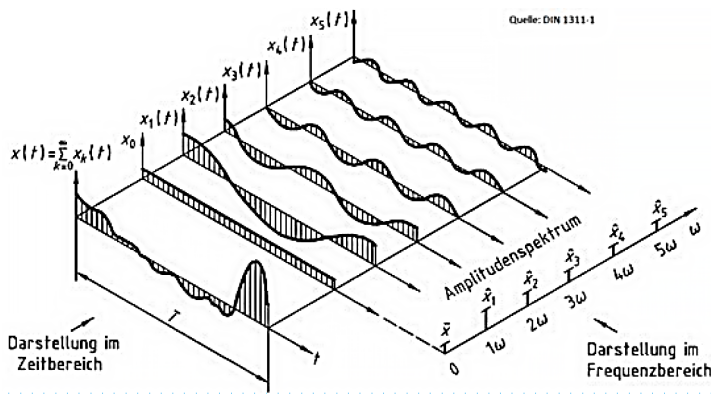
Ergänzung: Der Wertebereich der Tangensfunktion:



$$\tan \alpha = \frac{y}{x}$$

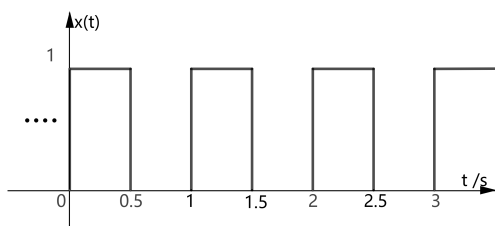
$$\alpha = \text{atan2}(y, x) \in (-\pi, \pi)$$

Abb. 1.6: Tangensfunktion und Wertbereich



Ein periodisches Zeitsignal $x(t)$ besitzt **nur die Grundfrequenz und deren Vielfache**. Ein Beispiel siehe unten:

Abb. 1.7: Darstellung eines periodischen Signals im Zeit- sowie Frequenzbereich



- $T = 1\text{s}$
- $f_1 = \frac{1}{T} = 1\text{Hz}$
- $x(t)$ kann nur die diskreten Frequenzen $1\text{Hz}, 2\text{Hz}, 3\text{Hz} \dots$ besitzen.

Fourierreihe für gerade/ ungerade periodische Signale:

- *gerade* Signale $x(t) = x(-t)$:

$$a_0 = \frac{1}{T} \int_{-\frac{T}{2}}^{\frac{T}{2}} x(t) dt = \frac{2}{T} \int_0^{\frac{T}{2}} x(t) dt$$

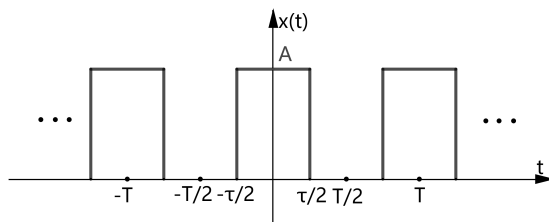
$$a_k = \frac{2}{T} \int_{-\frac{T}{2}}^{\frac{T}{2}} x(t) \cos(k\omega_1 t) dt = \frac{2}{T} \cdot 2 \cdot \int_0^{\frac{T}{2}} \underbrace{x(t) \cdot \cos(k\omega_1 t)}_{\text{gerade}} dt \quad (1.10)$$

$$b_k = \frac{2}{T} \int_{-\frac{T}{2}}^{\frac{T}{2}} \underbrace{x(t) \cdot \sin(k\omega_1 t)}_{\text{ungerade}} dt = 0$$

- *ungerade* Signale $x(t) = -x(-t)$:

$$\begin{aligned}
 a_0 &= \frac{1}{T} \int_{-\frac{T}{2}}^{\frac{T}{2}} x(t) dt = 0 \\
 a_k &= \frac{2}{T} \int_{-T/2}^{T/2} x(t) \cos(k\omega_1 t) dt \\
 b_k &= \frac{2}{T} \int_T x(t) \cdot \sin(k\omega_1 t) dt = \frac{2}{T} \cdot 2 \cdot \int_0^{T/2} x(t) \sin(k\omega_1 t) dt
 \end{aligned} \tag{1.11}$$

Beispiel: gerade Rechteckimpuls:



- Kraftverlauf $x(t)$ ist periodisch mit Periodendauer T
- Für den Kraftverlauf:
 - Periode T
 - Grundkreisfrequenz $\omega_1 = \frac{2\pi}{T}$
 - nur diskrete Frequenz vorhanden $k\omega_1$
- **Gesucht: Fourierreihe**

Der gezeigte Rechteckimpuls ist in funktionaler Form umzuschreiben:

$$x(t) = \begin{cases} 0 & t \in (-\frac{T}{2}, -\frac{\tau}{2}) \\ A & t \in (-\frac{\tau}{2}, \frac{\tau}{2}) \\ 0 & t \in (\frac{\tau}{2}, \frac{T}{2}) \end{cases}$$

Nach dem Gleichungssystem ??:

$$\begin{aligned}
 a_0 &= \frac{1}{T} \int_{-T/2}^{T/2} x(t) dt = \frac{1}{T} \int_{-\tau/2}^{\tau/2} A \cdot dt = \frac{A\tau}{T} \\
 a_k &= \frac{2}{T} \int_{-T/2}^{T/2} x(t) \cdot \cos(k\omega_1 t) dt = \frac{2}{T} \int_{-\tau/2}^{\tau/2} A \cdot \cos(k\omega_1 t) dt \\
 &= \frac{2A}{T} \cdot \frac{\sin(k\omega_1 t)}{k\omega_1} \Big|_{-\tau/2}^{\tau/2} = \frac{2A\tau}{T} \frac{\sin(\frac{k\omega_1 \tau}{2})}{\frac{k\omega_1 \tau}{2}} \\
 &= \frac{2A\tau}{T} \cdot \text{si}\left(\frac{k\omega_1 \tau}{2}\right) \\
 b_k &= \frac{2}{T} \int_{-T/2}^{T/2} x(t) \cdot \sin(k\omega_1 t) dt = 0, \text{ weil } x(t) \text{ gerade ist.}
 \end{aligned} \tag{1.12}$$

Daraus ergibt sich die Fourierreihe:

$$x(t) = a_0 + \sum_{k=1}^{\infty} \underbrace{\frac{2A\tau}{T} \text{si}\left(\frac{k\omega_1 \tau}{2}\right)}_{A_k} \cdot \cos(k\omega_1 t)$$

Da $\cos(\alpha \pm \pi) = -\cos \alpha$:

$$A_k \cdot \cos(k\omega_1 t) = \begin{cases} A_k \cdot \cos(k\omega_1 t) & A_k \geq 0 \\ |A_k| \cdot \cos(k\omega_1 t + \pi) & A_k < 0 \end{cases} \quad (1.13)$$

Amplitudenspektrum:

$$a_0, \quad A_k = \frac{2A\tau}{T} \cdot \text{si}\left(\frac{k\omega_1\tau}{2}\right), \text{ an Frequenzstelle } k\omega_1$$

Betragsspektrum:

$$x(t) = \frac{A\tau}{T} + \sum_{k=1}^{\infty} \left| \frac{2A\tau}{T} \text{si}\left(\frac{k\omega_1\tau}{2}\right) \right| \cdot \cos(k\omega_1 t + \varphi_k) \quad (1.14)$$

Phasenspektrum:

$$\varphi_k = \begin{cases} 0, & \frac{2nT}{\tau} \leq k \leq \frac{(2n+1)T}{\tau} \\ \pi, & \frac{(2n+1)T}{\tau} \leq k \leq \frac{(2n+2)T}{\tau} \end{cases} \quad (1.15)$$

Grafische Darstellung des Amplituden- sowie Phasenspektrums:

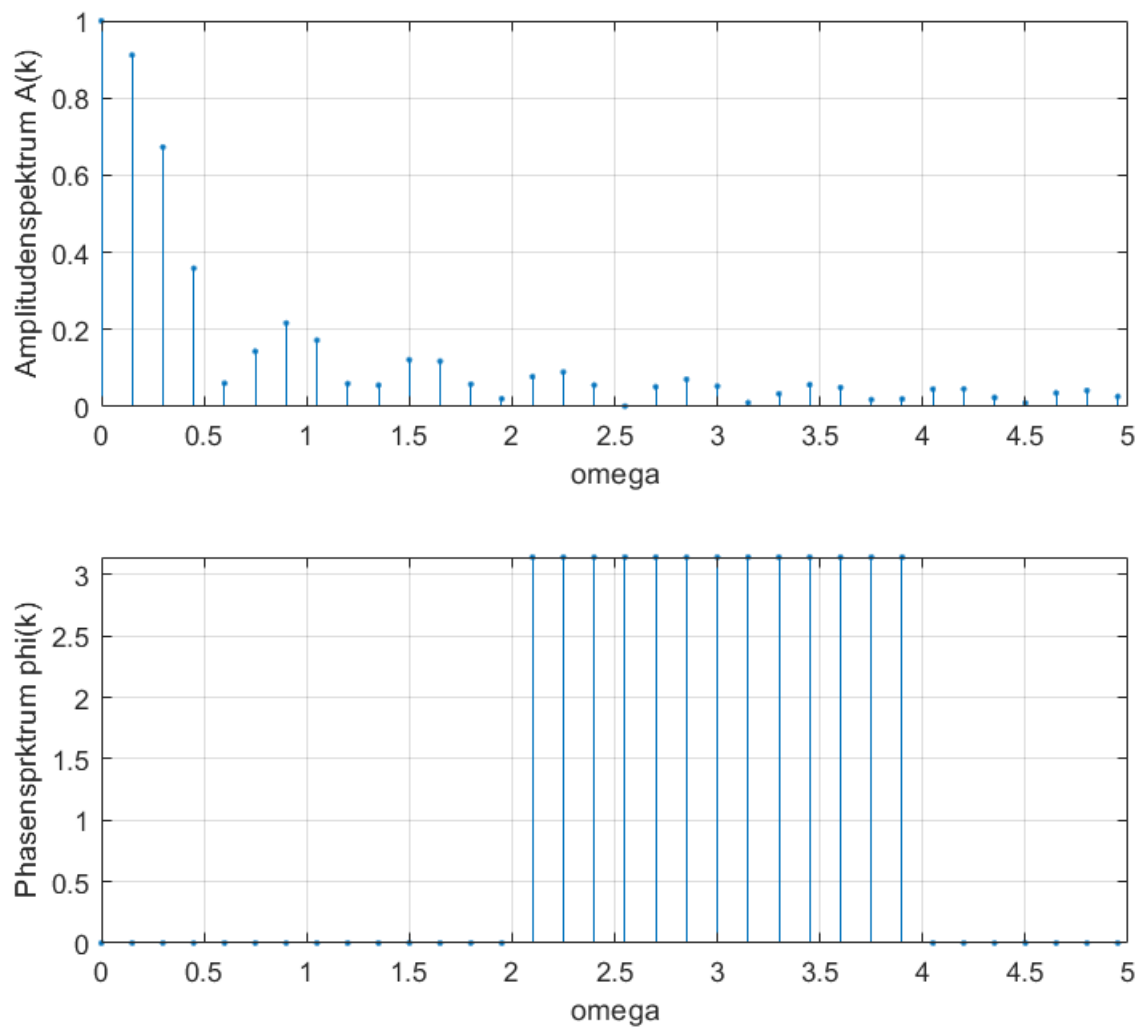


Abb. 1.8: Grafische Darstellung des Amplituden- sowie Phasenspektrums

Fourierreihe für periodisches Signal:

$$x(t) = x(t + T)$$

Grundkreisfrequenz:

$$\omega_1 = \frac{2\pi}{T}$$

Fourierreihe:

$$\begin{aligned} x_{(t)} &= a_0 + \sum_{k=1}^{\infty} (a_k \cos k\omega_1 t + b_k \sin k\omega_1 t) \\ &= a_0 + \sum_{k=1}^{\infty} A_k \cos(k\omega_1 t + \varphi_k) \end{aligned} \quad (1.16)$$

Damit:

$$\begin{aligned} A_k &= A(k\omega_1) \dots \text{Amplitudenspektrum} \\ \varphi_k &= \varphi(k\omega_1) \dots \text{Phasenspektrum} \end{aligned} \quad (1.17)$$

1.1.3 Komplexe Fourierreihe

Eulersche Formel:

$$\begin{aligned}\cos \alpha &= \frac{1}{2}(e^{j\alpha} + e^{-j\alpha}) \\ \sin \alpha &= \frac{1}{2j}(e^{j\alpha} - e^{-j\alpha}) \\ &= -\frac{j}{2}(e^{j\alpha} - e^{-j\alpha})\end{aligned}\quad (1.18)$$

Einsetzen der Gleichungen ?? in die reelle Fourierreihe:

$$\begin{aligned}x(t) &= a_0 + \sum_{k=1}^{\infty} a_k \cdot \frac{1}{2}(e^{jk\omega_1 t} + e^{-jk\omega_1 t}) - \sum_{k=1}^{\infty} b_k \cdot \frac{j}{2}(e^{jk\omega_1 t} - e^{-jk\omega_1 t}) \\ &= a_0 + \sum_{k=1}^{\infty} \left(\frac{a_k - jb_k}{2} e^{jk\omega_1 t} \right) + \sum_{k=1}^{\infty} \frac{a_k + jb_k}{2} e^{-jk\omega_1 t} \\ &= \underbrace{a_0}_{c_0 \cdot e^{j0}} + \sum_{k=1}^{\infty} \underbrace{\frac{a_k - jb_k}{2}}_{c_k} \cdot e^{jk\omega_1 t} + \sum_{k=1}^{\infty} \underbrace{\frac{a_{-k} + jb_{-k}}{2}}_{c_{-k}} e^{jk\omega_1 t} \\ a_k &= \frac{2}{T} \int_T x(t) \cdot \cos(k\omega_1 t) dt \Rightarrow a_{-k} = a_k \\ b_k &= \frac{2}{T} \int_T x(t) \cdot \sin(k\omega_1 t) dt \Rightarrow b_{-k} = -b_k\end{aligned}\quad (1.19)$$

Dann gilt:

$$\begin{aligned}x(t) &= x(t) = \sum_{k=-\infty}^{\infty} c_k \cdot e^{jk\omega_1 t} \\ c_0 &= a_0 = \frac{1}{T} \int_T x(t) dt \\ c_k &= \frac{1}{2} \left[\frac{2}{T} \left(\int_T x(t) \cdot \cos(k\omega_1 t) dt - j \cdot \int_T x(t) \cdot \sin(k\omega_1 t) dt \right) \right] \\ &= \frac{1}{T} \int_T x(t) \underbrace{[\cos(k\omega_1 t) - j \cdot \sin(k\omega_1 t)]}_{e^{-jk\omega_1 t}} dt \\ &= \frac{1}{T} \int_T x(t) e^{-jk\omega_1 t} dt\end{aligned}$$

Zusammenfassung:

Komplexe Fourierreihe:

$$\begin{aligned}x(t) &= x(t + T), \quad \omega_1 = \frac{2\pi}{T} \\ x(t) &= \sum_{k=-\infty}^{\infty} c_k \cdot e^{jk\omega_1 t}, \quad c_k = \frac{1}{T} \int_T x(t) e^{-jk\omega_1 t} dt \\ k &= 0, \pm 1, \pm 2, \dots\end{aligned}\quad (1.20)$$

c_k ist eine komplexe Zahl,

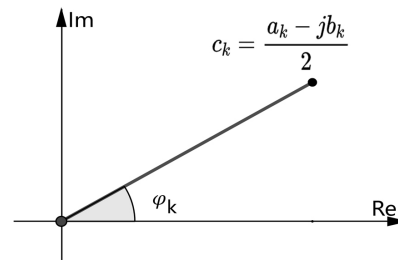
$$c_k = |c_k| \cdot e^{j\varphi_k}$$

$$|c_k| = \frac{1}{2} \sqrt{a_k^2 + b_k^2} = \frac{1}{2} A_k$$

$$\varphi_k = \arg(c_k) = \text{atan2}(\text{Im}(c_k), \text{Re}(c_k))$$

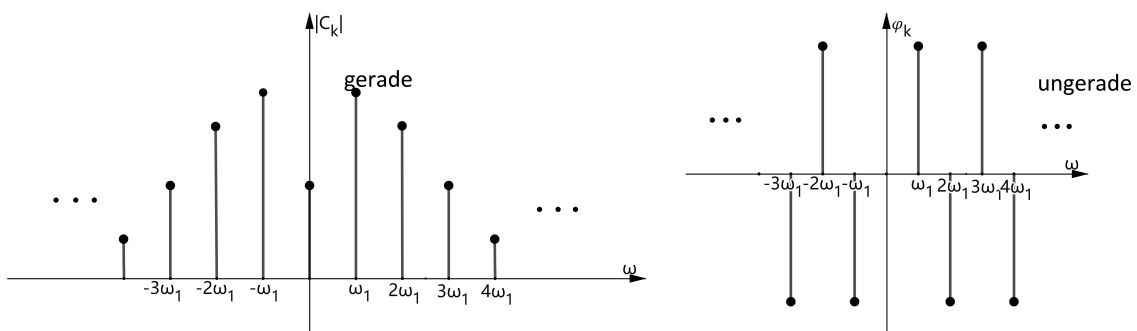
$$= \text{atan2}(-b_k, a_k)$$

$$c_k = c_{-k}^* \quad * - \text{konjugiert komplex}$$



Darstellung von Amplituden- und Phasenspektrum:

- Wegen $c_k = c_{-k}^* \rightarrow |c_k| = |c_{-k}|, \varphi_k = -\varphi_{-k}$
 \leadsto Betragspektrum ist gerade, Phasenspektrum ist ungerade.



- für gerade **reelle** Signale $x(t) = x(-t)$:

$$b_k = 0$$

$$c_k = \frac{a_k - j b_k}{2} = \frac{a_k}{2} \quad (1.21)$$

c_k ist reell $\iff x(t)$ ist gerade.

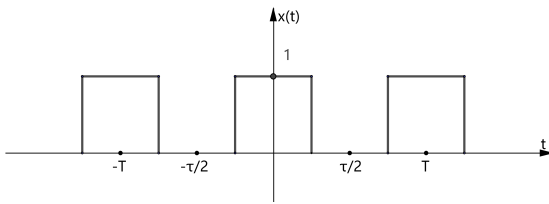
- für ungerade **reelle** Signale $x(t) = -x(-t)$:

$$a_k = 0$$

$$c_k = \frac{a_k - j b_k}{2} = -\frac{j b_k}{2} = \frac{b_k}{2j} \quad (1.22)$$

c_k ist imaginär $\iff x(t)$ ist ungerade.

Beispiel:



1. $x(t)$ ist periodisch
2. Periode T

Abb. 1.9: Rechteck-Puls und sinc-Funktion

$$\begin{aligned}
 x(t) &= \sum_{k=-\infty}^{\infty} c_k \cdot e^{jk\omega_1 t} \\
 c_k &= \frac{1}{T} \int_T x(t) \cdot e^{-jk\omega_1 t} dt \\
 &= \frac{1}{T} \int_{-\tau/2}^{\tau/2} A \cdot e^{-jk\omega_1 t} dt \\
 &= \frac{A\tau}{T} \cdot \text{Si}\left(\frac{k\pi\tau}{T}\right) = \frac{A\tau}{T} \cdot \text{Si}\left(\frac{1}{2} \cdot k\tau\omega_1\right)
 \end{aligned}$$

Plausibilität: $x(t)$ ist gerade $\rightarrow c_k$ reell

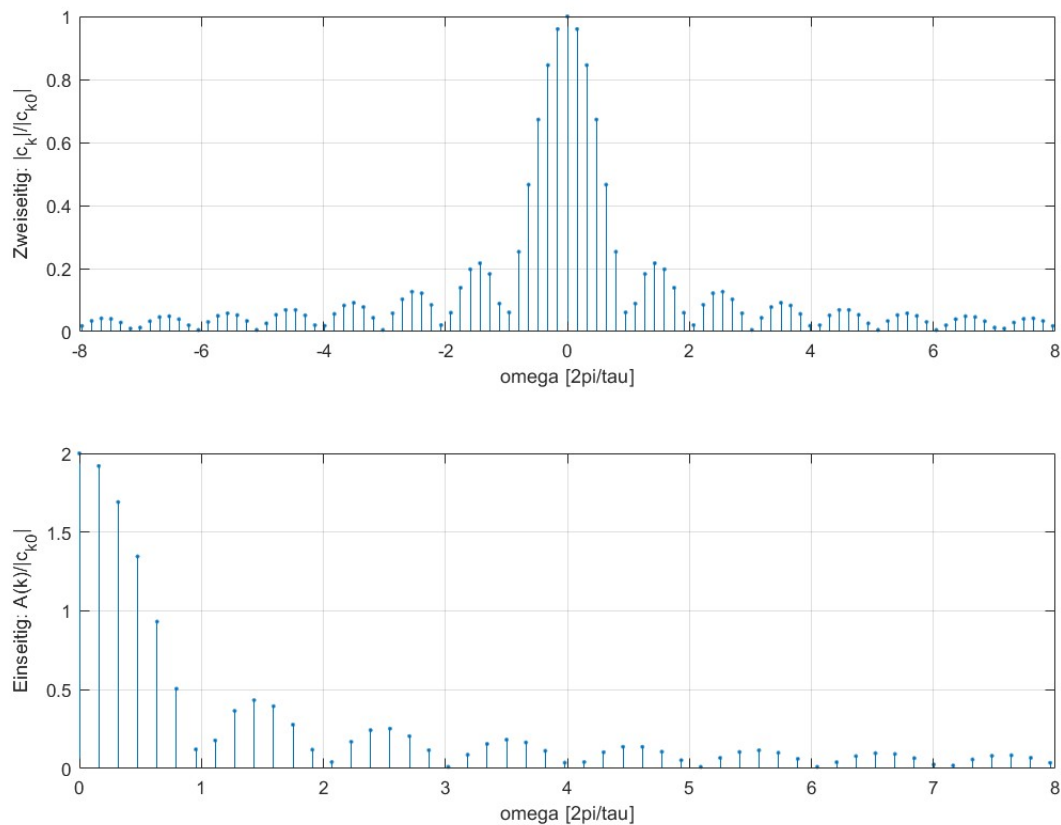


Abb. 1.10: Ein- und Zweiseitiges Amplitudenspektrum

1.1.4 Parsevalsche Gleichung

Die Durchschnittleistung eines reellen periodischen Signals:

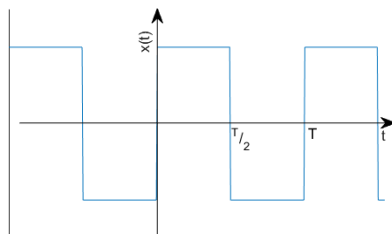
$$\begin{aligned}
 \overline{P}_x &= \frac{1}{T} \int_T x^2(t) dt \\
 &= \frac{1}{T} \int_T \left[a_0 + \sum_{k=1}^{\infty} a_k \cdot \cos(k\omega_1 t) + \sum_{k=1}^{\infty} b_k \sin(k\omega_1 t) \right]^2 dt \\
 &= \frac{1}{T} \left[T \cdot a_0^2 + \frac{T}{2} \sum_{k=1}^{\infty} a_k^2 + \frac{T}{2} \sum_{k=1}^{\infty} b_k^2 \right] \\
 &= a_0^2 + \frac{1}{2} \sum_{k=1}^{\infty} (a_k^2 + b_k^2) \leftarrow \text{reelle Fourierreihe} \\
 \overline{P}_x &= \frac{1}{T} \int_T x^2(t) dt = \frac{1}{T} \int_T \left(\sum_{k=-\infty}^{\infty} a_k \cdot e^{jk\omega_1 t} \right)^2 dt \\
 &= \sum_{k=-\infty}^{\infty} |c_k|^2
 \end{aligned}$$

Parsevalsche Gleichung:

$$\overline{P}_x = a_0^2 + \frac{1}{2} \sum_{k=1}^{\infty} (a_k^2 + b_k^2) = \sum_{k=-\infty}^{\infty} |c_k|^2 \quad (1.23)$$

1.1.5 Gibbs Phänomen

Für Rechteck-Puls:



$$\begin{aligned}
 x(t) &= \frac{2A}{\pi} (\sin(\omega_1 t) + \frac{1}{3} \sin(3\omega_1 t) + \frac{1}{5} \sin(5\omega_1 t) + \dots) \\
 \omega_1 &= \frac{2\pi}{T}
 \end{aligned}$$

Erst wird der Rechteck-Puls aus der Überlagerung mehrerer Harmonischen grafisch dargestellt:

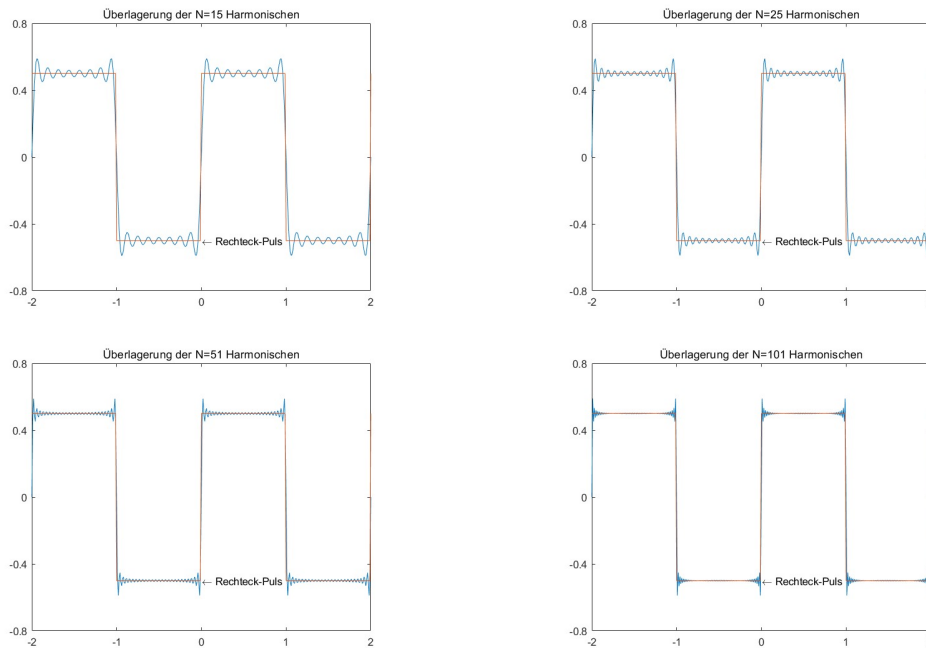
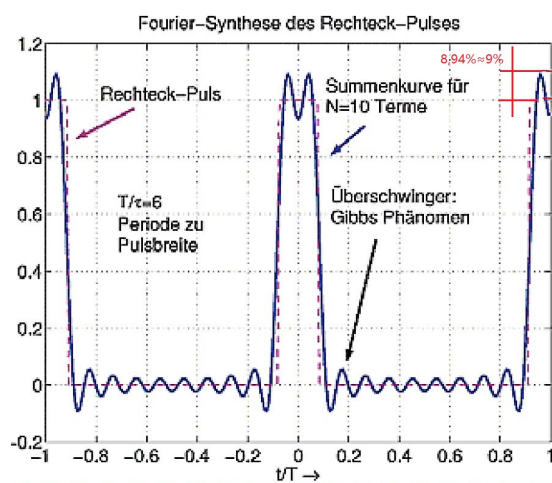


Abb. 1.11: Rechteck-Puls aus der Überlagerung mehrerer Harmonischen

Dann wird das "Gibbs-Phänomen" als folgendes definiert und charakterisiert:



- "Über- und Unterschneiden" vor und nach einer Sprungstelle
- Höhe der größten überschwingende Welle beträgt gegen 9% (8,94%) der gesamten Sprunghöhe
- Selbst bei ∞ vielen Harmonischen bleibt die größte überschwingende Welle ca. 9%, **klingt aber schnell ab.**

Bestimmung der Anzahl von Harmonischen in Bezug auf die mittlere Leistung:

$$P_m = \sum_{k=-\infty}^{\infty} |c_k|^2 = a_0^2 + \frac{1}{2} \cdot \sum_{k=1}^{\infty} (a_k^2 + b_k^2) \quad (1.24)$$

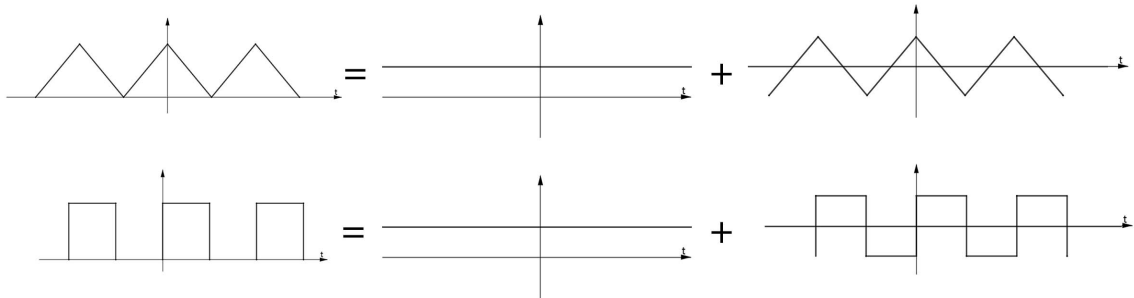
$$P_N = \sum_{k=-N}^N |c_k|^2 = a_0^2 + \frac{1}{2} \cdot \sum_{k=1}^N (a_k^2 + b_k^2)$$

Wenn $\frac{P_N}{P_m} = 99\%$, dann hat die synthetisierte Profile 99% Leistung des theoretischen Verlaufs.

1.1.6 Eigenschaften der Fouierreihe

(1) Linearität:

$$FR\{x(t) + y(t)\} = FR\{x(t)\} + FR\{y(t)\}$$



(2) Lineare Modifikation:

$$FR\{\dot{x}\} = \frac{d}{dt}FR\{x(t)\}$$

$$FR\left\{\int x(t)dt\right\} = \int FR\{x(t)\}dt$$

(3) Verschiebungssatz:

$$FR\{x(t - t_0)\} = FR\{x(t)\} \cdot e^{-jk\omega_1 t_0} \quad (1.25)$$

D.h., durch die Verschiebung im Zeitbereich um einen Abstand t_0 : $x(t \pm t_0)$ ist die Multiplikation mit $e^{\mp jk\omega_1 t_0}$ im Frequenzbereich vorgesehen, und vice versa.

(4) Symmetrieeigenschaften:

- gerade reelle Signale:

$$b_k = 0, \quad c_0 = a_0, \quad c_k = \frac{1}{2}a_k, \quad k = 1, 2, \dots$$

c_k ist reell.

- ungerade Signale:

$$a_0 = a_k = 0, \quad c_k = \frac{b_k}{2j}$$

c_k ist imaginär.

Beispiel: s.o. Abb.??

1.2 FOURIERTRANSFORMATION UND ANALYSE APERIODISCHER SIGNALE

1.2.1 Von Fourierreihe zu Fouriertransformation

Wiederholung: Fourierreihe

$$C_n = \frac{1}{T} \int_{-\frac{T}{2}}^{\frac{T}{2}} x(t) \cdot e^{(-jn\omega_0 t)} dt$$

$$\omega_0\text{-Grundfrequenz, } \omega_0 = \frac{2\pi}{T}$$

$$C_n\text{-Fourierreihe - Koeffizient, } C_n = |C_n| \cdot e^{j\angle C_n}$$

Frequenzkomponente bei Frequenz $n \cdot \omega_0$

Im folgenden wird der